

Zeitschrift: Eclogae Geologicae Helvetiae
Herausgeber: Schweizerische Geologische Gesellschaft
Band: 39 (1946)
Heft: 2

Anhang: Tafeln
Autor: [s.n.]

Nutzungsbedingungen

Die ETH-Bibliothek ist die Anbieterin der digitalisierten Zeitschriften. Sie besitzt keine Urheberrechte an den Zeitschriften und ist nicht verantwortlich für deren Inhalte. Die Rechte liegen in der Regel bei den Herausgebern beziehungsweise den externen Rechteinhabern. [Siehe Rechtliche Hinweise.](#)

Conditions d'utilisation

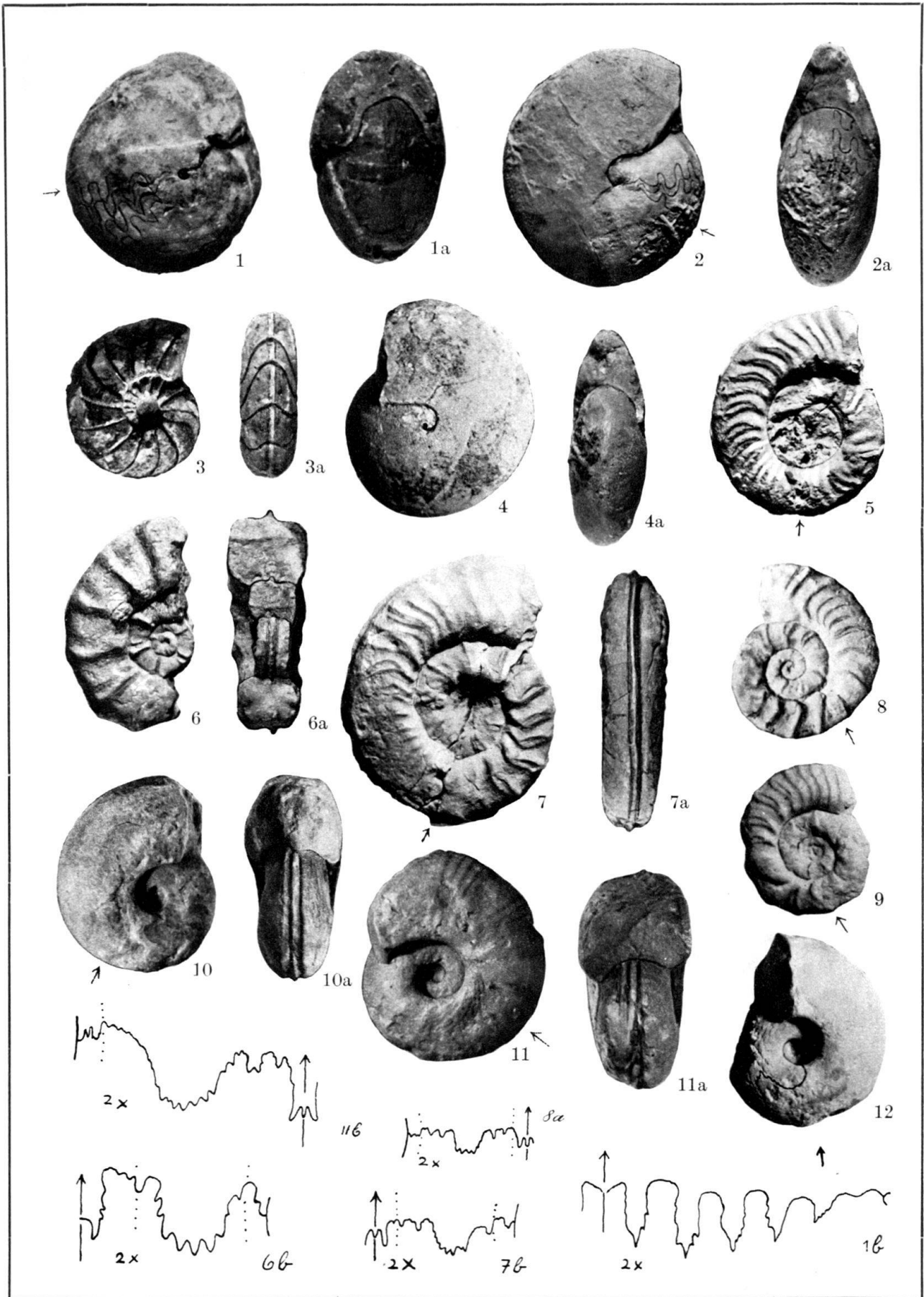
L'ETH Library est le fournisseur des revues numérisées. Elle ne détient aucun droit d'auteur sur les revues et n'est pas responsable de leur contenu. En règle générale, les droits sont détenus par les éditeurs ou les détenteurs de droits externes. [Voir Informations légales.](#)

Terms of use

The ETH Library is the provider of the digitised journals. It does not own any copyrights to the journals and is not responsible for their content. The rights usually lie with the publishers or the external rights holders. [See Legal notice.](#)

Download PDF: 15.03.2025

ETH-Bibliothek Zürich, E-Periodica, <https://www.e-periodica.ch>



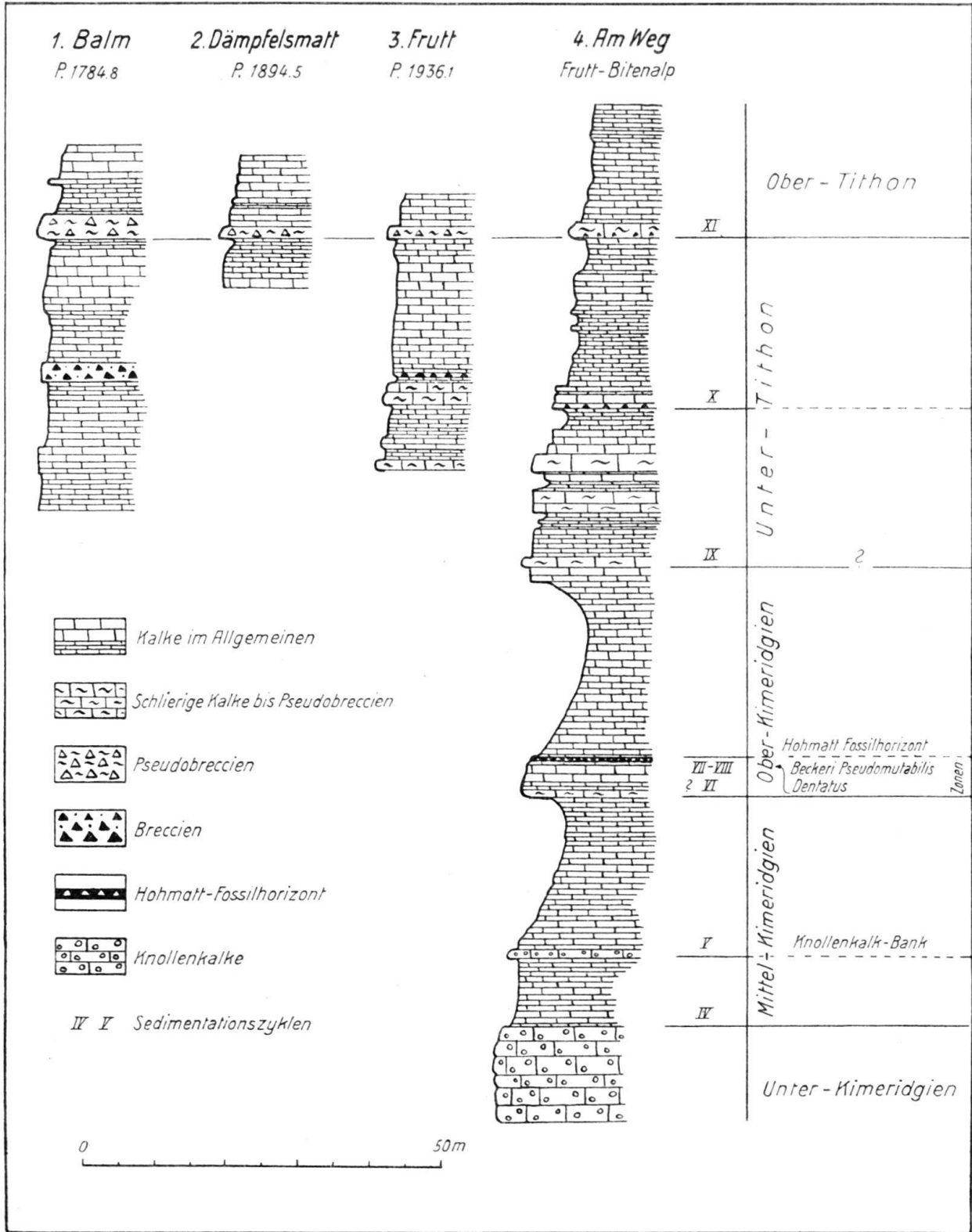




Fig. 1

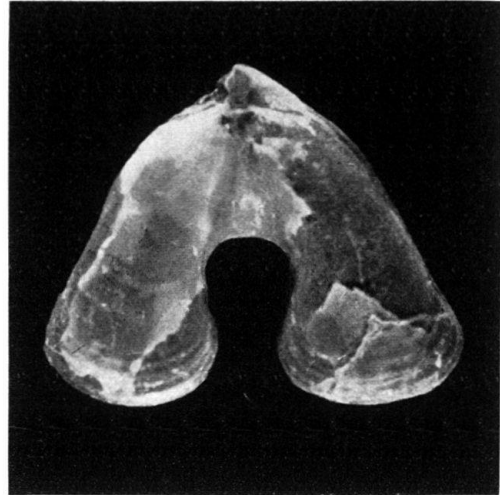


Fig. 2

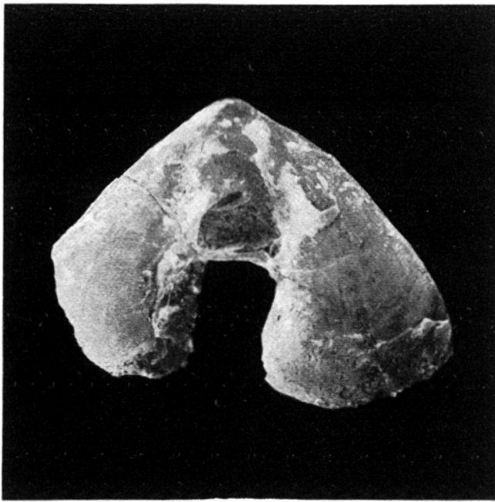


Fig. 3

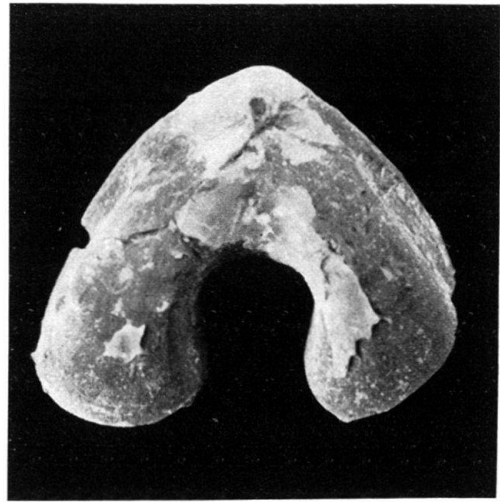


Fig. 4a



Fig. 4b



Fig. 4c

Phot. A. Sommer.

Repr. Birkhäuser, Basel.

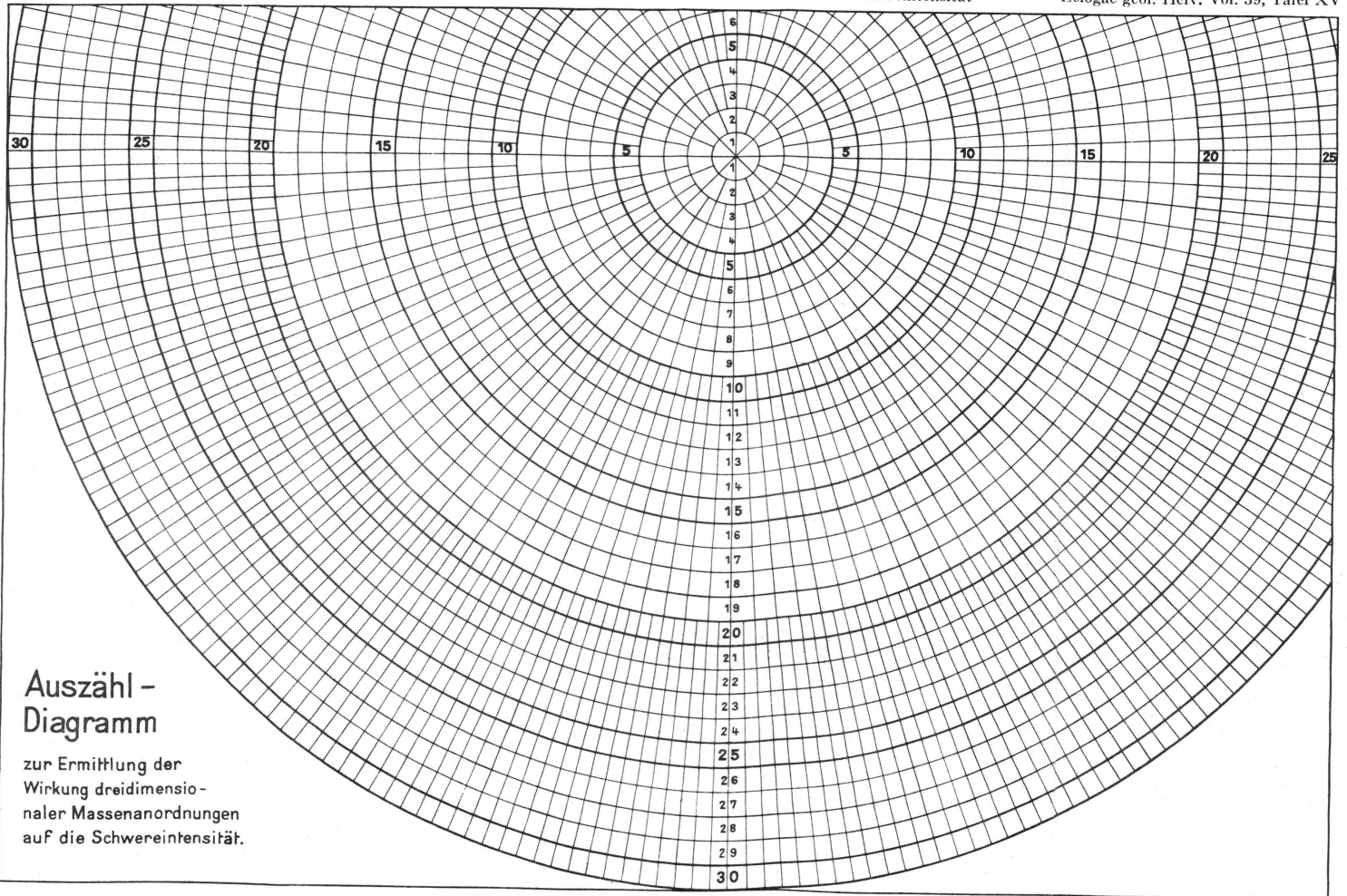


Diagramm zur Bestimmung des Einflusses dreidimensionaler Massenarrangierungen auf die Schwereintensität

Fortsetzung der Kurven siehe Tafel XVII oben

$$t_n(p) = \frac{2\pi \cdot 6.667 \cdot 0.5}{e_n} (1 + \sqrt{(n-1)^2 + p^2} - \sqrt{n^2 + p^2})$$

n	e _n
1	8
2	16
3 u. 4	32
5 bis 9	64
10 bis 19	128
20 bis 30	256

N.B. Die Ordinaten der Kurven von n = 1 bis 4 liefern 0,1 t_n(p); alle anderen t_n(p) selbst.

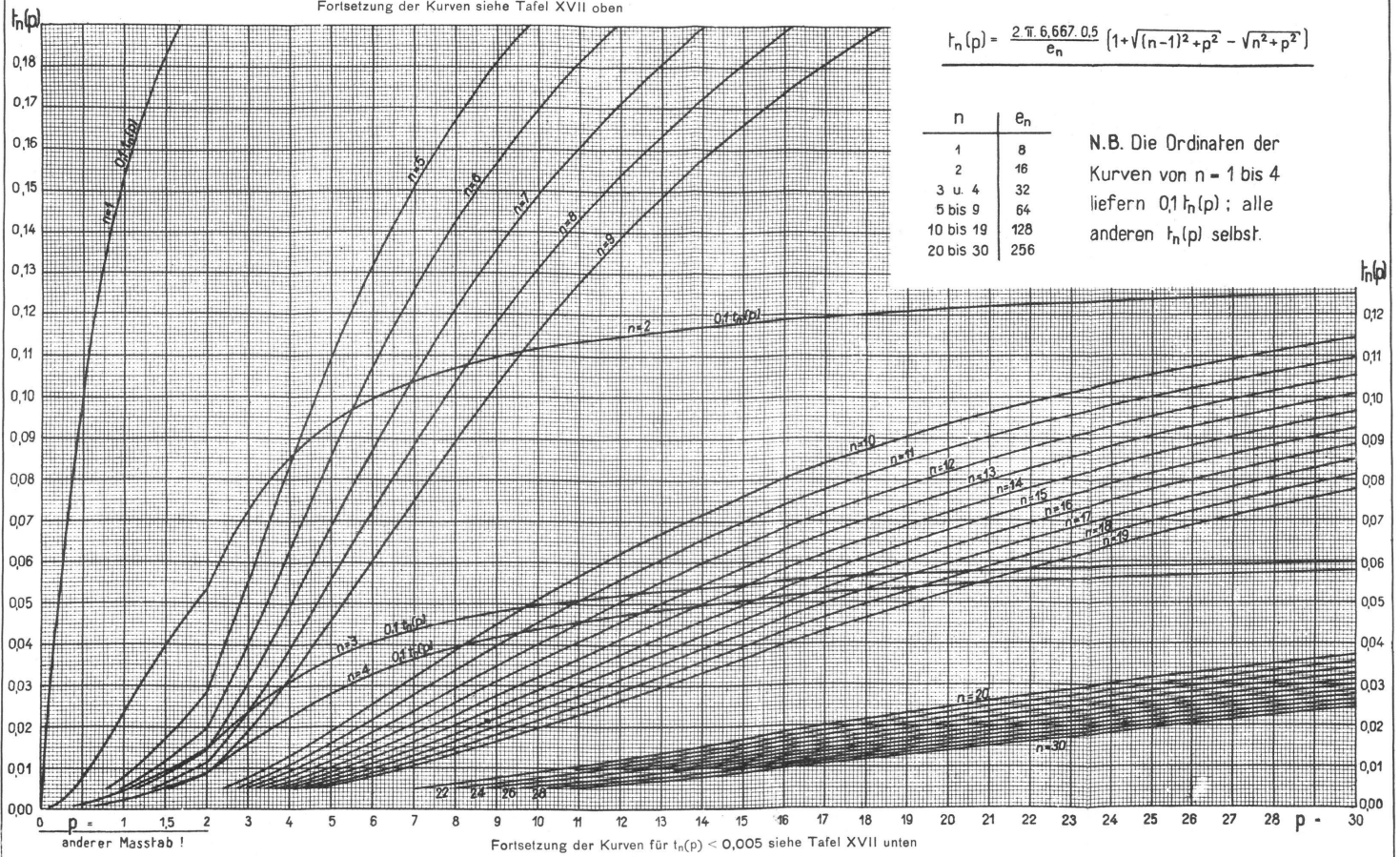


Diagramm zur Bestimmung des Einflusses dreidimensionaler Massenarrangements auf die Schwereintensität

Fortsetzung der Kurven von Tafel XVI, Formel für $I_n(p)$ siehe Tafel XVI

